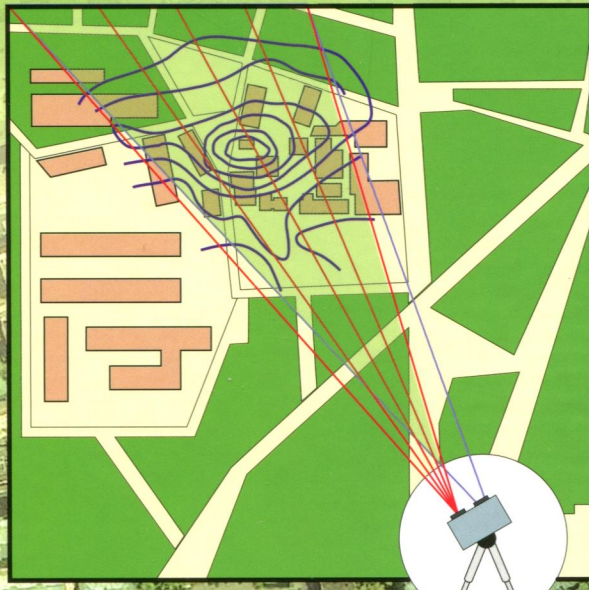


Р.Р. Агишев

**ЛАЗЕРНОЕ
ЗОНДИРОВАНИЕ
ОКРУЖАЮЩЕЙ СРЕДЫ:
методы и средства**



ФУНДАМЕНТАЛЬНАЯ И ПРИКЛАДНАЯ ФИЗИКА

P.P. Агишев

**ЛАЗЕРНОЕ
ЗОНДИРОВАНИЕ
ОКРУЖАЮЩЕЙ СРЕДЫ:
методы и средства**



**МОСКВА
ФИЗМАТЛИТ®
2019**

УДК 551.508.856;
551.501.816;
621.383
ББК 22.34+26.23+32.85
А 24



Издание осуществлено при поддержке
Российского фонда фундаментальных
исследований по проекту 18-18-00058,
не подлежит продаже

Агишев Р.Р. **Лазерное зондирование окружающей среды: методы и средства.** — М.: ФИЗМАТЛИТ, 2019. — 264 с. — ISBN 978-5-9221-1821-7.

Монография посвящена методам и средствам лазерного зондирования как перспективному направлению бесконтактной диагностики и дистанционного мониторинга окружающей среды. Представлены архитектура и принципы построения традиционных систем дистанционного зондирования атмосферы, особенности функционирования их подсистем, методы приема и обработки эхо-сигналов. Изложена методология обобщенного анализа лазерных систем дистанционной диагностики на основе разработанной концепции безразмерной параметризации лидаров. Показаны особенности ее использования для оценки потенциальных возможностей и сопоставления лидаров и их подсистем, включая чувствительность инструментов лазерного зондирования, дальность действия, помехоустойчивость и др.

На основе разработанной методологии проведен анализ лидарных фотодетекторов с внутренним усилением, предложены алгоритмы и модели для обоснования выбора типов оптических приемников для конкретных приложений при изменчивости атмосферы как объекта исследований и внешних воздействий. Раскрыты принципы построения и особенности реализации непрерывных частотно-модулированных лидаров как альтернативы традиционным импульсным системам лазерного зондирования.

Для научных работников и специалистов в области разработки и использования лазерных систем дистанционного зондирования и оптической локации, мониторинга окружающей среды и природных ресурсов, предотвращения чрезвычайных ситуаций, а также аспирантов и магистрантов соответствующих специальностей.

ISBN 978-5-9221-1821-7

© ФИЗМАТЛИТ, 2019
© Р.Р. Агишев, 2019

ОГЛАВЛЕНИЕ

| | |
|---|----|
| Предисловие | 9 |
| Раздел I. Лазерное дистанционное зондирование: основные принципы и подходы | |
| Глава 1. Основные принципы лазерного дистанционного зондиро- вания | 12 |
| 1.1. Дистанционное зондирование, диагностика, мониторинг | 12 |
| 1.2. Лазерное зондирование: достоинства | 13 |
| 1.3. Укрупненная структура системы лазерного зондирования | 16 |
| 1.4. Оптические схемы зондирования рассеивающей среды | 16 |
| 1.5. Временные соотношения | 18 |
| 1.6. Показатели качества и тактико-технические параметры лазерного зондирования | 19 |
| Глава 2. Окружающий воздух и атмосферные явления как объек- ты исследования | 21 |
| 2.1. Взаимодействие лазерного излучения с атмосферой и его основные эффекты | 21 |
| 2.1.1. Основные эффекты взаимодействия оптического излучения с атмосферой | 21 |
| 2.2. Особенности распространения лазерного излучения при разных ат- мосферных явлениях | 23 |
| 2.2.1. Поглощение в атмосфере | 24 |
| 2.2.2. Рассеяние в атмосфере | 27 |
| 2.3. Естественное освещение неба при мониторинге атмосферы | 28 |
| 2.3.1. Яркость неба и его изменчивость | 29 |
| 2.3.2. Яркость безоблачного неба | 31 |
| 2.3.3. Яркость облачного неба | 32 |
| 2.4. Яркое излучение неба: носитель информации и помеха | 33 |
| 2.5. Модели естественной освещенности окружающей атмосферы | 35 |
| 2.6. Фоновая помеха, состояние атмосферы и условия измерений | 38 |
| 2.6.1. Атмосферно-оптическая составляющая отношения сиг- нал/фон | 39 |
| Глава 3. Уравнение лазерного зондирования. Восстановление па- раметров исследуемой среды | 43 |
| 3.1. Архитектура лидарной системы | 43 |
| 3.2. Лидарное уравнение как уравнение измерения при дистанционном зондировании | 44 |
| 3.2.1. Многократное рассеяние | 47 |
| 3.3. Интерпретация эхо-сигналов зондирования. Алгоритмы восстанов- ления параметров среды по результатам измерений | 48 |

| | |
|--|----|
| 3.4. Достоверность восстановления параметров среды по результатам зондирования | 51 |
| 3.4.1. Примеры реконструкции параметров атмосферы | 51 |
| 3.4.2. Традиционные методы: оценка точности восстановления | 53 |
| 3.5. Анализ требований к лидарной системе для достоверного восстановления | 56 |
| 3.6. Влияние пространственной избирательности и фоновой помехи на достоверность | 59 |
| 3.6.1. Вклад пространственной избирательности | 59 |
| 3.6.2. Влияние фоновой помехи на точность реконструкции оптических профилей | 60 |
| Г л а в а 4. Структура оптической системы лидара. Традиции и подходы | 63 |
| 4.1. Обобщенная оптическая схема лазерного дистанционного зондирования | 63 |
| 4.2. Лидарные излучатели: традиционные структуры. Передающая оптика | 64 |
| 4.3. Структурная схема приемной оптической системы | 66 |
| 4.4. Разновидности приемных оптических систем. Формирование углового поля приемника | 67 |
| 4.5. Пространственная избирательность лидарных систем | 71 |
| Г л а в а 5. Прием и обработка сигналов в приемном тракте лидаров | 74 |
| 5.1. Методы приема оптических сигналов зондирования | 74 |
| 5.2. Метод прямого фотодетектирования | 75 |
| 5.2.1. Режим счета фотонов | 76 |
| 5.2.2. Режим воспроизведения огибающей сигнала | 77 |
| 5.3. Гетеродинные приемники: особенности построения | 78 |
| 5.4. Согласование полей принимаемого сигнала и сигнала гетеродина | 79 |
| 5.5. Особенности борьбы с помехами в приемном тракте | 80 |
| 5.6. Традиционный подход к анализу отношения сигнал/шум | 83 |
| 5.7. Оценка отношения сигнал/шум при приеме сигналов в режиме счета фотонов | 85 |
| Р а з д е л II. Моделирование лидарных систем: | |
| методология безразмерной параметризации | |
| Г л а в а 6. Оценка эффективности лидаров: концепция мультиплексивной параметризации | 88 |
| 6.1. Как сопоставить эффективность и потенциал лидаров. Традиционный анализ лидарной системы | 88 |
| 6.2. Молекулярная атмосфера как опорная среда. | 90 |
| 6.2.1. Опорный эхо-сигнал молекулярной атмосферы | 91 |
| 6.3. Декомпозиция отношения сигнал/шум. Нормированный эхо-сигнал разных типов лидаров. | 92 |
| 6.3.1. Нормированный эхо-сигнал разных типов лидаров | 93 |
| 6.4. Структура мультиплексивно-параметрической модели лидарной системы | 95 |
| 6.5. V -, Q_X -, W -, U - и r -параметры лидара | 96 |

| | |
|---|------------|
| 6.5.1. V -параметр | 96 |
| 6.5.2. Q_X -параметр лидара | 97 |
| 6.5.3. W -параметр лидара | 98 |
| 6.5.4. U -параметр лидара | 99 |
| 6.6. Сокращение дальности действия лидара в присутствии фона неба | 100 |
| 6.7. Эквивалентный V -параметр | 102 |
| Гл а в а 7. Приложения методологии безразмерной параметризации: дальность зондирования и пределы обнаружения атмосферных газов | 103 |
| 7.1. Лидар обратного рассеяния | 103 |
| 7.1.1. Дальность действия при горизонтальном зондировании моле- кулярной атмосферы | 103 |
| 7.1.2. Дальность действия практически реализуемого горизонталь- ного лидара | 105 |
| 7.1.3. Вертикальное зондирование | 108 |
| 7.2. Лидар обратного рассеяния: оценка минимально обнаружимой кон- центрации газа | 110 |
| 7.3. Топографический лидар: оценка диапазона детектируемых концен- траций газа | 113 |
| 7.3.1. Максимально детектируемая концентрация | 113 |
| 7.3.2. Минимально обнаружимая концентрация | 115 |
| 7.4. Обоснование необходимого потенциала для детектирования газов: τ - V - R -диаграммы | 117 |
| 7.4.1. Метод τ - V -диаграмм | 117 |
| 7.4.2. Метод τ - R -диаграмм | 119 |
| Гл а в а 8. Оценка эффективности лидарных систем: концепция унификации параметров среды и системных шумов | 122 |
| 8.1. Прогноз потенциала лидаров на основе развития безразмерно-па- раметрической методологии | 122 |
| 8.2. Опорная среда и опорная яркость фона неба | 124 |
| 8.2.1. Опорная яркость фона неба | 125 |
| 8.3. Концепция унификации параметров как инструмент оценки эффе- ктивности лидаров | 127 |
| 8.3.1. Нормировка эхо-сигнала лазерного зондирования | 128 |
| 8.3.2. Парциальные отношения сигнал/шум | 128 |
| 8.3.3. Избыточные шумы лидарной системы как степень превыше- ния квантовых шумов | 129 |
| 8.4. Безразмерный индикатор потенциала лидарной системы | 130 |
| 8.5. Фактор влияния внешней фоновой помехи | 133 |
| 8.6. Унификация и взаимосвязь параметров лидарной системы: струк- тура модели | 134 |
| 8.7. Моделирование влияния фоновой помехи на дальность действия . . | 136 |
| 8.7.1. Сокращение дальности действия под влиянием интенсивной фоновой засветки | 139 |
| 8.8. Сопоставление реальных лидарных систем | 141 |

Раздел III. Помехоустойчивость приемников лидарных систем

| | |
|---|-----|
| Глава 9. Твердотельные кремниевые SiФЭУ — перспективный класс лидарных детекторов | 143 |
| 9.1. Перспективы применения SiФЭУ при лазерном дистанционном зондировании | 144 |
| 9.1.1. SiФЭУ на смену традиционным ФЭУ и ЛФД | 144 |
| 9.2. Характеристики SiФЭУ как фотоприемников лазерного зондирования | 145 |
| 9.3. Зондирование лидаром с SiФЭУ в разных режимах детектирования. Примеры | 146 |
| 9.4. Лидар с SiФЭУ: первичная обработка и интерпретация сигналов зондирования | 147 |
| 9.5. Лидар с SiФЭУ: возможности и ограничения в реальных помеховых условиях | 150 |
| 9.6. Безразмерно-параметрическое моделирование: приложение к лидарам с SiФЭУ | 152 |
| 9.6.1. Объединенный VU_{equ} -параметр | 152 |
| 9.6.2. Лидар с SiФЭУ: сравнительная оценка чувствительности . . | 154 |
| 9.6.3. Лидар с SiФЭУ: сокращение дальности действия в присутствии фона неба | 155 |
| Глава 10. Сопоставление SiФЭУ, ФЭУ и ЛФД как приемников лидарных систем | 159 |
| 10.1. Ухудшение чувствительности лидарных детекторов в присутствии фоновой помехи | 159 |
| 10.1.1. U -параметр лидара | 163 |
| 10.2. Сопоставление характеристик SiФЭУ, ФЭУ и ЛФД как лидарных детекторов | 163 |
| 10.2.1. Квантовая эффективность и внутренние шумы фотодетекторов | 163 |
| 10.2.2. Спектральные характеристики внутренних и квантовых шумов | 164 |
| 10.2.3. Мощность принятого сигнала, изменчивость погоды и чувствительность детекторов | 165 |
| 10.2.4. Лидары с фотодетекторами на ФЭУ, ЛФД и SiФЭУ: дальность действия и фон неба | 165 |
| 10.3. Лидары с SiФЭУ, ФЭУ и ЛФД: прогноз потенциала и чувствительности на основе унификации | 166 |
| 10.3.1. Нормированные избыточные шумы лидаров с разными фотодетекторами | 166 |
| 10.3.2. Искажение принимаемых лидарных сигналов избыточными шумами | 167 |
| 10.3.3. Доля фоновой составляющей в избыточных шумах разных лидарных детекторов | 169 |
| 10.3.4. Ухудшение чувствительности разных фотодетекторов к «оптической погоде» | 171 |

Раздел IV. Непрерывные частотно-модулированные лидары как альтернатива импульсным методам зондирования

| | |
|--|-----|
| Глава 11. Непрерывные ЧМ-лидары: принципы построения | 174 |
| 11.1. Альтернативный подход к построению лидаров и его предшественники | 174 |
| 11.1.1. Частотные дальномеры | 176 |
| 11.1.2. Лазерные измерители радиальной скорости. Методы и структуры | 178 |
| 11.2. Архитектура и функционирование частотно-модулированных лидаров | 180 |
| 11.2.1. Принцип действия ЧМН-лидара | 180 |
| 11.2.2. Выделение спектра дальномерных частот. Разновидности гетеродинирования в ЧМН-лидарах | 182 |
| 11.3. Тактические параметры ЧМН-лидаров. Требуемая полоса пропускания | 184 |
| 11.4. Уравнение ЧМН-лидара | 186 |
| 11.5. Требования к системе модуляции излучения | 188 |
| Глава 12. Сопоставление импульсных и непрерывных частотно-модулированных лидаров | 189 |
| 12.1. Предпосылки формирования методики сопоставления | 189 |
| 12.2. Развитие концепции непрерывных частотно-модулированных лидаров | 191 |
| 12.2.1. Классификация разновидностей импульсных и ЧМН-лидаров | 191 |
| 12.2.2. Качественные показатели импульсных и ЧМН-лидаров | 191 |
| 12.2.3. Классификация лидаров на основе специфики методов приема и первичной обработки сигналов | 192 |
| 12.3. Приложение методологии безразмерной параметризации к сопоставлению импульсных и ЧМН-систем | 193 |
| 12.4. Дальность действия обобщенных ЧМН- и импульсных лидаров | 197 |
| 12.4.1. Широколосные лидары | 197 |
| 12.4.2. Узкополосные лидары | 198 |
| 12.4.3. Характерные особенности узкополосных лидаров | 200 |
| 12.5. Выигрыш УП- над ШП-лидарами в полосе пропускания | 201 |
| 12.6. Выигрыш УП-лидаров над ШП-лидарами в дальности действия | 202 |
| 12.7. Чувствительность ШП- и УП-лидаров | 205 |
| 12.7.1. Пороговая чувствительность разных типов лидаров | 205 |
| 12.7.2. Радиочастотное гетеродинирование | 206 |
| 12.7.3. Оптическое гетеродинирование | 206 |
| 12.7.4. Оптоэлектронное гетеродинирование | 208 |
| 12.8. Влияние шумов и атмосферного ослабления на выигрыш в дальности действия и чувствительности | 209 |
| 12.9. Комплексное сопоставление непрерывных частотно-модулированных и импульсных лидаров | 213 |

| | |
|--|-----|
| Раздел V. Оптико-электронные методы повышения помехоустойчивости лидарных систем | |
| Глава 13. Улучшение пространственной избирательности лидарных систем | 214 |
| 13.1. Приемная система лидара как многофункциональный фильтр | 214 |
| 13.2. Критерий эффективности пространственной фильтрации | 216 |
| 13.3. Мгновенное угловое поле для принимаемого сигнала | 217 |
| 13.4. Эффективность пространственной фильтрации в лидарных системах | 219 |
| 13.4.1. Круглая диафрагма | 219 |
| 13.4.2. Клиновидная диафрагма | 220 |
| 13.4.3. Компенсирующая диафрагма | 222 |
| 13.5. Оптимальное поле зрения биаксиального лидара | 223 |
| 13.6. Клиновидная диафрагма на практике | 225 |
| 13.7. Пространственная избирательность и устойчивость к внешним помехам | 227 |
| 13.8. Адаптация оптических параметров бистатических лидаров к фоновой помехе | 228 |
| 13.8.1. Оценка точности измерений | 229 |
| 13.8.2. Юстировочные и вибрационные характеристики | 230 |
| 13.8.3. Фоновые характеристики | 231 |
| 13.8.4. Оптимизация углового поля приемной системы | 232 |
| 13.8.5. Практическая реализация адаптации | 233 |
| Глава 14. Оптико-электронные методы повышения помехоустойчивости лидаров | 237 |
| 14.1. Метод пространственно-временной селекции лидарных эхо-сигналов | 237 |
| 14.2. Оптико-электронная обработка сигналов, совмещенная с противофоновой | 240 |
| 14.3. Возможности расширения диапазона измерительного преобразования приемников | 244 |
| 14.4. Амплитудно-временная адаптация приемной системы к фоновой помехе | 246 |
| 14.5. Практическая реализация фоноустойчивого фотоприемника | 248 |
| 14.6. Предотвращение потерь информации при переключениях поддиапазонов приемника | 249 |
| 14.7. Формирование световой характеристики фоноустойчивого приемника | 252 |
| Заключение | 255 |
| Список литературы | 256 |